

# Instituto Tecnológico de Buenos Aires

22.01 TEORÍA DE CIRCUITOS

---

## Trabajo práctico N°1

---

*Grupo 3*

|                                    |       |
|------------------------------------|-------|
| MECHOULAM, Alan                    | 58438 |
| LAMBERTUCCI, Guido Enrique         | 58009 |
| RODRIGUEZ TURCO, Martín Sebastian  | 56629 |
| LONDERO BONAPARTE, Tomás Guillermo | 58150 |

*Profesores*

Jacoby, Daniel Andrés  
Belaustegui Goitia, Carlos  
Iribarren, Rodrigo Iñaki

Presentado: 19/08/19

## 1. Introducción

En el presente informe se estudiaron distintos tipos de filtros con un enfoque analítico, teórico, práctico y además computacional. Para facilitar esto último se creó una interfaz gráfica que logra superponer distintas curvas obtenidas mediante cálculos teóricos de transferencias, mediciones con osciloscopio o simulaciones con LTSpice.

## 2. Desarrollo

### 2.1. Ejercicio 1: Filtro Twin T Notch

Se diseñó el filtro Twin T Notch mostrado en la Figura (1). Este filtro posee una frecuencia de corte de  $8,1 \text{ kHz}$ . Para eso se requerían resistencias de  $9 \text{ k}\Omega$  y  $4,5 \text{ k}\Omega$  y capacitores de  $2,2 \text{ nF}$  y  $4,4 \text{ nF}$ . Considerando los valores comerciales, se seleccionaron resistencias de  $6,8 \text{ k}\Omega$  y  $2,2 \text{ k}\Omega$  en serie para obtener los  $9 \text{ k}\Omega$  y dos resistencias de  $10 \text{ k}\Omega$  y  $8,2 \text{ k}\Omega$  en paralelo  $4,5 \text{ k}\Omega$ , mientras que para los capacitores, se eligieron 2 de  $2,2 \text{ nF}$  en paralelo para lograr los  $4,4 \text{ nF}$  deseados. De aquí en más, en las siguientes ecuaciones, se considera  $R = 9 \text{ k}\Omega$  y  $C = 2,2 \text{ nF}$ .

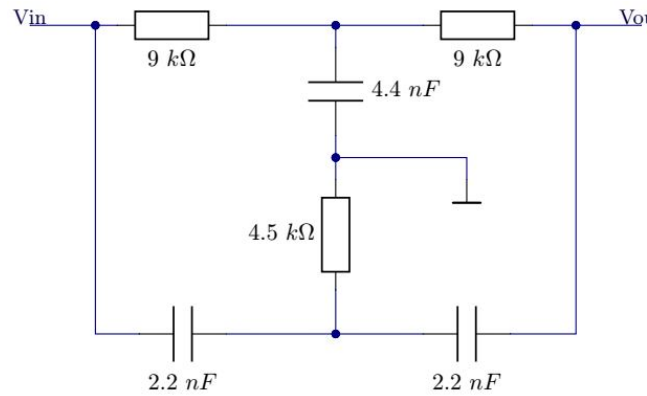


Figura 1: Filtro Twin T Notch teórico, sin simplificar.

En el circuito se puede observar dos circuitos T conectados en paralelo. Aplicando el teorema de Kennelly para transformar T a Pi, se obtiene el circuito simplificado de la Figura (2), donde se tiene que

$$Z_1 = \frac{1 + SCR}{SC} \quad ; \quad Z_2 = 2R(1 + SCR) \quad ; \quad Z'_2 = \frac{2(SCR + 1)}{R(SC)^2}$$

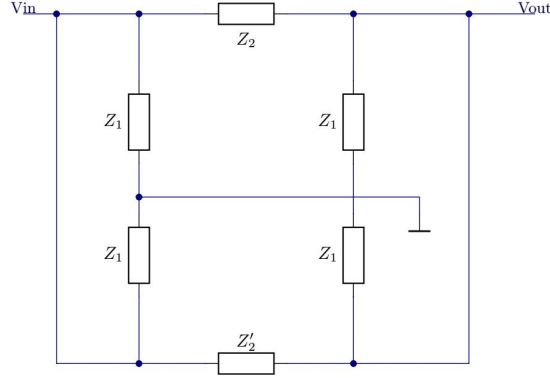


Figura 2: Filtro Twin T Notch luego de aplicar el teorema de Kenelly.

Luego, se observa que el circuito puede simplificarse aún mas teniendo en cuenta que las dos impedancias  $Z_1$  de la izquierda están en paralelo entre sí, de la misma forma que las  $Z_1$  de la derecha y que  $Z_2$  con  $Z'_2$ . Finalmente, se obtiene el circuito mostrado en la Figura (3).

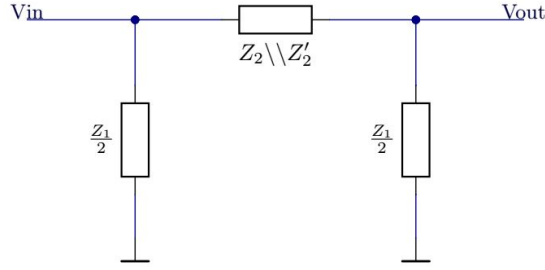


Figura 3: Filtro Twin T Notch simplificado.

Realizando los cálculos de la transferencia en el circuito simplificado, se obtiene que

$$\frac{Vo}{Vi} = H(S) = \frac{(SCR)^2 + 1}{(SCR)^2 + 4SCR + 1} \quad (1)$$

Luego, la respuesta en frecuencia será

$$H(j\omega) = \frac{(j2\pi fCR)^2 + 1}{(j2\pi fCR)^2 + j8\pi fCR + 1} \quad (2)$$

Antitransformando por Fourier, se obtiene la respuesta impulsiva

$$h(t) = \delta(t) + \frac{2}{RC\sqrt{3}} \left[ (2 + \sqrt{3}) e^{-t\frac{2+\sqrt{3}}{RC}} + (\sqrt{3} - 2) e^{t\frac{\sqrt{3}-2}{RC}} \right] \quad (3)$$

Convolucionando con el escalón, se llega a la respuesta al escalón

$$y(t) = \frac{2}{RC\sqrt{3}} \left( e^{-t\frac{2+\sqrt{3}}{RC}} - e^{t\frac{\sqrt{3}-2}{RC}} \right) + \frac{1}{RC} \quad (4)$$

## 2.2. Ejercicio 2: Filtro pasa-bajos RC

Se simuló y se armó en un protoboard un filtro pasa-bajos RC, seleccionando los valores de los componentes adecuados para lograr que la frecuencia de corte sea de  $48\text{ kHz}$ . Los componentes utilizados fueron dos resistencias, una de  $22\ \Omega$  y otra de  $680\ \Omega$ , colocadas en serie, y un capacitor de  $4,7\text{ nF}$ , contemplando los valores comerciales. Dicho circuito fue alimentado con una señal cuadrada de  $10\text{ V}_{PP}$  con una frecuencia de  $24\text{ kHz}$ . Simulando dicho circuito, se llegan a los resultados mostrados en la Figura (4).

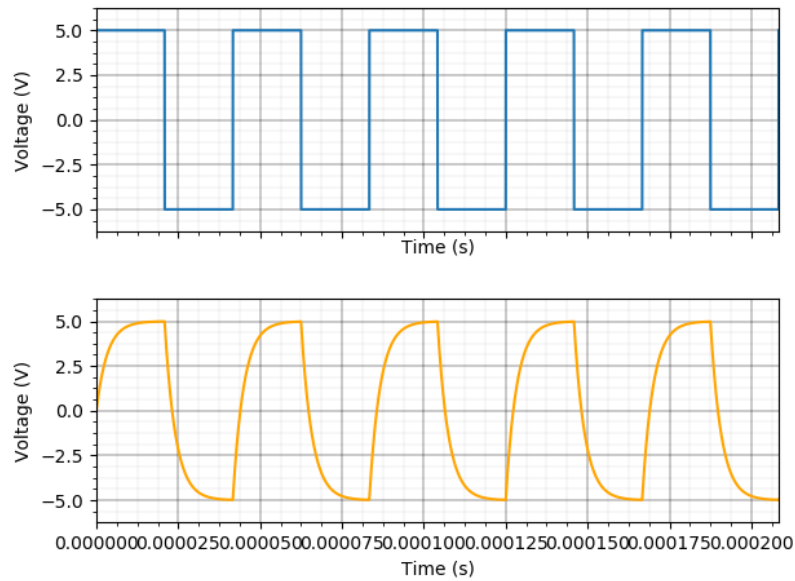


Figura 4: Entrada (en azul) y salida (en amarillo) del circuito armado.

En este se observa que la salida no es igual a la entrada, es decir, el valor pico de esta última no es alcanzado por la salida sino hasta pasado un tiempo aproximado de medio período. Se encuentran dos formas posibles de explicar dicha observación. El primer enfoque viene dado de la mano de la carga del capacitor, la cual se sabe que no es instantánea, demorando así la obtención del valor pico. El segundo se basa en observar los coeficientes de la serie de Fourier del circuito. Como se ha dicho previamente, este circuito es un pasa-bajos, por lo tanto, las frecuencias altas son atenuadas. Una señal cuadrada, idealmente, está compuesta por la suma de infinitas frecuencias, en la practica no son infinitas pero sí se puede asegurar que la conforma una gran suma de armónicos. De esta forma, al eliminarlas, no se obtiene la totalidad de ellas causando que la onda de salida no sea un cuadrado perfecto. La atenuación de los armónicos se muestra en la Figura (5), donde se son comparados con los de la entrada.

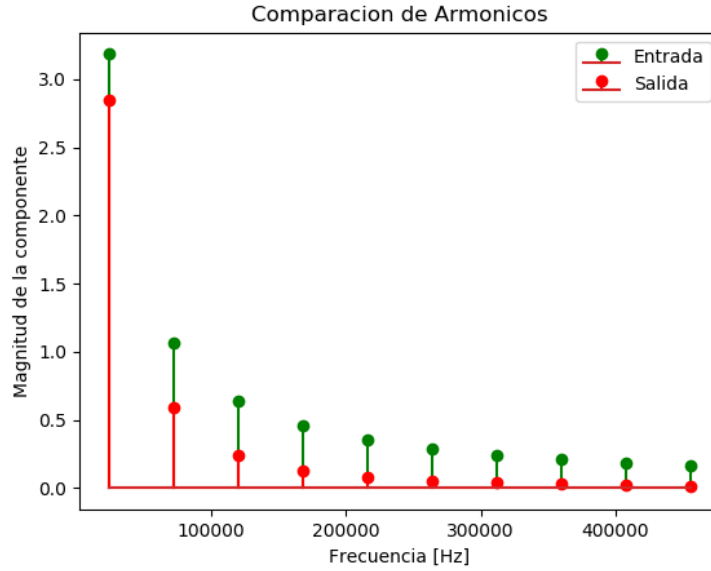


Figura 5: Comparación de armónicos de la entrada (en verde) y salida (en rojo) del circuito armado.

Por otro lado, las mediciones se observan en la Figura (6). Cabe destacar que en dicha figura, la señal cuadrada de la fuente no posee una forma cuadra perfecta debido a la baja impedancia de entrada de la fuente. Esta impedancia viene dada por el equivalente en serie de la resistencia y el capacitor

$$Z_{in} = R + \frac{1}{sC}$$

donde se observa que es inversamente proporcional a la frecuencia. A altas frecuencias, el modulo de  $Z_{in}$  disminuye y se hace mucho mas comparable con el de la fuente. A bajas frecuencias, como se observará en la Figura (10), la impedancia de entrada aumenta, reduciendo la distorsión observada.

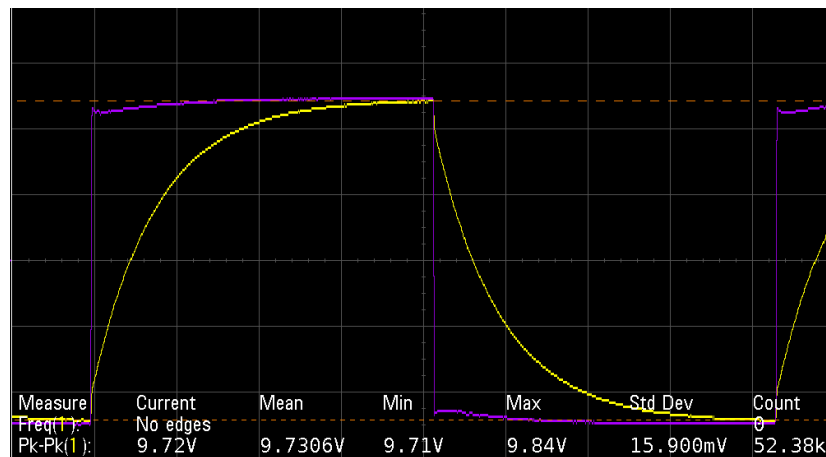


Figura 6: Entrada (en violeta) y salida (en amarillo) del circuito a  $24\text{ kHz}$ .

De esta forma se puede comparar el diagrama de BODE teórico con el real observando las Figuras (7) y (8).

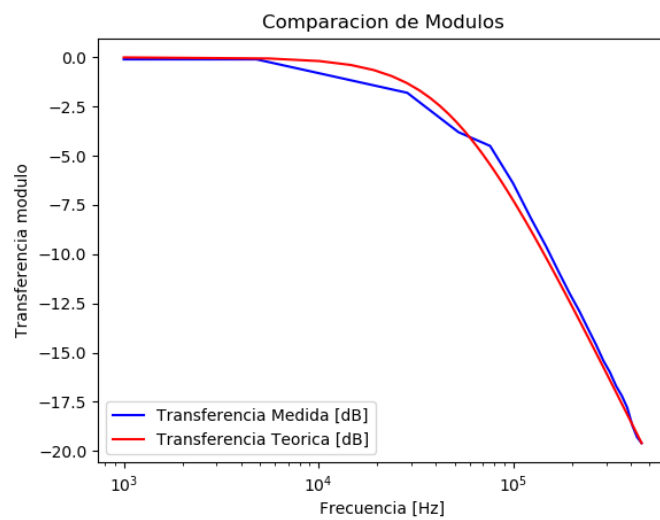


Figura 7: Comparación del BODE real (en azul) con el teórico (en rojo).

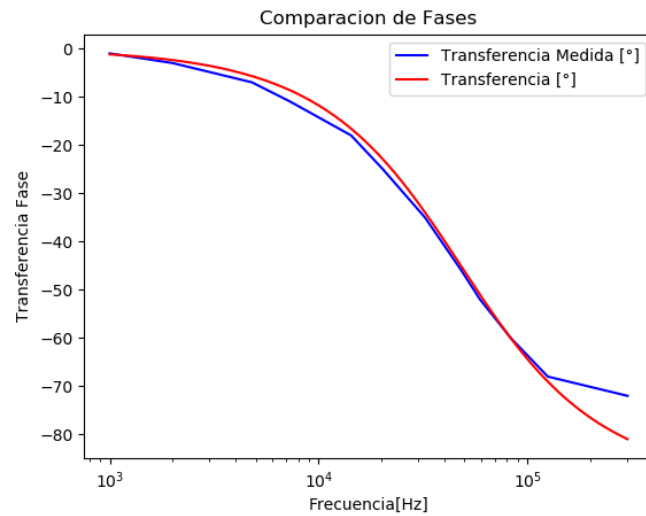


Figura 8: Comparación de las fases del BODE real (en azul) con el teórico (en rojo).

En ambas figuras es posible ver que las mediciones se corresponden a los valores esperados, dejando pasar las frecuencias bajas y atenuando las altas. La distorsión entre las fases que se observa en la parte inferior de la Figura (8) se atribuye a las altas frecuencias.

Graficando tanto el modulo de la respuesta en frecuencia en decibels y los armónicos simulados se obtiene la siguiente figura.

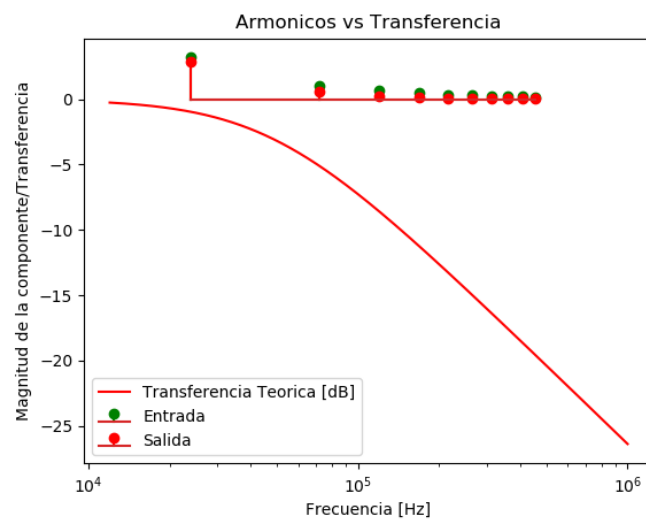


Figura 9: Grafico de transferencia y armónicos simulados.

Repitiendo las mediciones con una señal de las mismas características, pero

con una frecuencia de 480  $Hz$  se observó que, a diferencia de lo observado en la Figura (6), la señal de salida se acopla mejor a la entrada debido a que esta, al ser de baja frecuencia, no es atenuada como en el caso anterior.

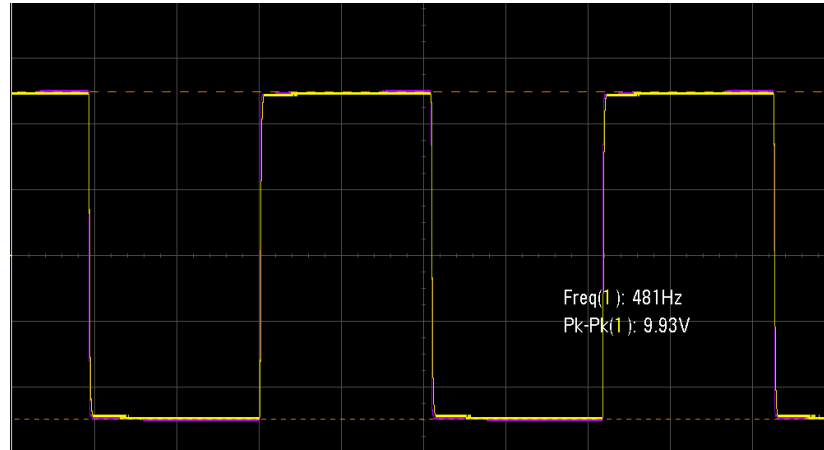


Figura 10: Entrada (en violeta) y salida (en amarillo) del circuito a 480  $Hz$ .

Finalmente, se puede observar que dicho circuito puede ser utilizado como un integrador atenuado a muy altas frecuencias, ya que

$$H(S) = \frac{1}{SRC + 1} \approx \frac{1}{RC} \cdot \frac{1}{S} \quad (5)$$

### 2.3. Ejercicio 3: Plot Tool 2019

Finalmente, en este punto se programó una GUI en Phyton que permite realizar gráficos de diagramas de BODE. Dicho programa permite analizar funciones transferencia analíticas, archivos de LTSpice, entre otros tipos de archivos. Esta interfaz facilita el estudio, análisis y comparación de los distintos diagramas.

## 3. Conclusiones